

کد مقاله : A-۱۰-۲۵۵۲-۱

مطالعه و بررسی ضخامت، ثابت دیالکتریک، تعداد تناوب، بر سیستم‌های چند لایه‌ای بدون انعکاس

سیده زهرا، اکبرزاده^۱، امین، قادری^۲

^{۱،۲} گروه فیزیک اتمی و مولکولی، دانشکده علوم پایه، دانشگاه مازندران (بابلسر)

www.zahra.akbarzadeh.photonic@gmail.com^۱, a.ghadi@umz.ac.ir^۲

چکیده - در این مقاله، ساختار پلاسمای - دیالکتریکی را با استفاده از روش ماتریس انتقال، مورد بررسی قرار می‌دهیم. سپس تغییرات تعداد تناوب، زاویه فرودی، ثابت دیالکتریکی، و ضخامت لایه‌ها را روی پهنهای باند انعکاس، نشان می‌دهیم. در این ساختار مشاهده می‌شود که با افزایش تعداد تناوب، تعداد باندهای انعکاسی کمتر می‌شود اما مرکز این باندها به سمت فرکانس‌های بیشتر می‌روند. همچنین با افزایش ثابت دیالکتریک مرکز پهنهای ایشان کاهش، اما پهنهای ایشان افزایش می‌یابد. با افزایش ضخامت لایه، پهنهای باند انعکاس کم و زیاد می‌شود ولی به تعداد باند انعکاس افزوده می‌شود.

کلید واژه- باند انعکاس فوتونیکی، بلورهای فوتونیکی، مدهای انتشاری (باند انتقال).

Study of refractive index and thickness and number of periods and dielectric constants on multilayer systems without reflection

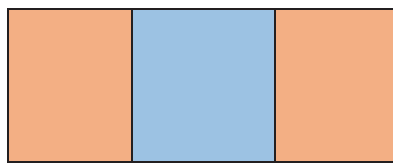
Seyyedeh Zahra Akbarzadeh¹, Amin Ghadi²

^{1،۲} Department of Atomic and molecular physics, Faculty of Basic Sciences, University of Mazandaran (Babol). a.ghadi@umz.ac.ir²

Abstract- In this paper, we study the plasma-dielectric structure using the transfer matrix method. Then we show the changes in the number of periods, the incidence angle, the dielectric constant, and the thickness of the layers on the reflection bandwidth. In this structure, it is observed that with increasing the number of periods, the number of reflective bands decreases, but the centers of these bands move towards higher frequencies. Also, with increasing dielectric constant, their center widths decrease, but their widths increase. As the layer thickness increases, the bandwidth of the reflector increases and decreases, but the number of reflector bands increases.

Keywords: photonic reflection band, Photonic crystals, Propagation Modes (Transmission band).

(ضخامت پلاسمای غیر مغناطیده) d_1 و ضخامت لایه B (ضخامت شیشه کوارتز) d_2 و N تعداد تناوب دولایه است. رابطه ثابت دیالکتریک و نفوذپذیری μ_{eff} و فرض می‌شود عدد حقیقی و $i = 1, 2$ باشد و فرض می‌شود هر لایه همگن و همسانگرد و با فصل مشترک نامحدود باشد. در اینجا از E_1 و E_2 برای شرح ثابت دیالکتریک پلاسمای غیر مغناطیده و ثابت دیالکتریک B استفاده می‌کنیم [۳]. همانطور که می‌دانیم پلاسمای غیر مغناطیده نوعی از فرکانس وابسته به دیالکتریک است و ثابت دیالکتریک (پلاسما) E_1 که از مدل درود پیروی می‌کند به شرح زیر نوشته می‌شود [۴][۵].



شکل ۱. بلور فوتونی متسلسل از پلاسمای دیالکتریک

ω_p فرکانس پلاسمایی برابر است با :

که e و m و n_e و ϵ_0 به ترتیب بار الکتریکی، جرم الکتریکی، چگالی پلاسما، و ثابت دیالکتریک در خلاء است. امواج EM (الکترومغناطیسی) با زاویه فرودی θ از خلاء به ساختار چندلایه‌ای پلاسما - دیالکتریک فرود می‌آید. فرض می‌کنیم بردار امواج (K ω) در صفحه XZ قرار دارد. بنابراین محاسبه انعکاس و انتقال و جذب برای ساختار چند لایه‌ای از روش ماتریس انتقال (TMM) [۶] استفاده می‌شود. ماتریس انتقال نشان دهنده ارتباط میدان‌های الکتریکی و مغناطیسی بین دولایه از محیط متناوب می‌باشد و ارتباط بین لایه اول و نهایی را نشان می‌دهد، همچنین می‌توانیم مشخصه‌های مرتبط با میدان الکتریکی و مغناطیسی را در هر دو مکان در لایه مجاور

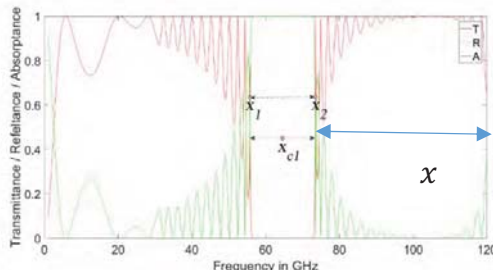
مقدمه

بلورهای فوتونی دسته جدیدی از محیط‌های نوری هستند که وجه مشخصه آنها ساختارهایی است که ضربی شکست آن‌ها به صورت متناوب تغییر می‌کند. این محیط‌ها دارای مشخصات ویژه‌ای هستند که با توجه به آن‌ها می‌توان از بلورهای فوتونی در کاربردهای مختلفی استفاده نمود. ساختار بلورهای فوتونی شباهت زیادی به بلورهای نیمه‌رسانا دارد. مشخصه اصلی بلورهای که نوعاً به صورت مصنوعی ساخته می‌شوند، دوره‌ای بودن آنهاست. این ویژگی منجر به ایجاد باند ممنوعه فرکانسی در بلور می‌شود. به طوریکه امواج الکترومغناطیسی که با فرکانس منطقه ممنوعه ω_m^2 (میلیوند، $\text{قادرهای} \frac{1}{2}$ از ω) از بلور نمی‌باشند. این باند ممنوعه ω_m^2 در ساخته هواپیماهای رادارگریز [۱]، دارای اهمیت می‌باشد. وجود نقص در بلور فوتونی موجب ایجاد مدهای نقص در داخل باند ممنوعه می‌گردد، که چنین مدي مجبور است در ناحیه نقص محدود گردد. نقص در بلور فوتونی همانند کاواکی عمل می‌کند که دیواره‌هاییش نور را کاملاً منعکس می‌کند. اگر نوری هم فرکانس با فرکانس مدنقص به نزدیکی ناحیه نقص تابیده شود، این نور قادر به عبور از ناحیه را ترک کند [۲]. روش‌های مختلفی برای محاسبه موقعیت‌های نقص در بلور یک بعدی وجود. اگر امواج الکترومغناطیسی نتواند در هر زاویه فرودی و هر قطبشی در یک بلور فوتونیکی منتشر شود، یا نسبت به تغییر زاویه موج فرودی و قطبش آن حساسیت نشان ندهد، به آن گاف باند تمام سویه گفته می‌شود. در این مقاله برای ترسیم نمودار انتقال، انعکاس و جذب بر حسب فرکانس از ماتریس انتقال استفاده می‌کنیم.

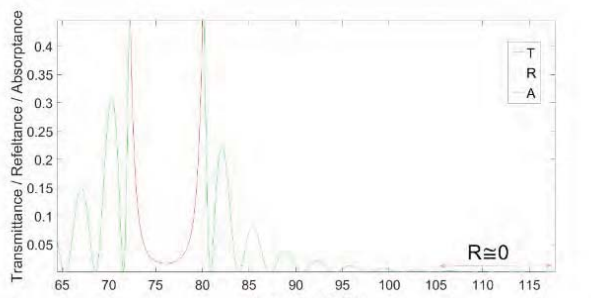
مدل تئوری و روش عددی

فرض می‌شود موجی با زاویه θ بر ساختار دولایه‌ای پلاسما - دیالکتریک فرود می‌آید. لایه‌های A و B نشان دهنده‌ی پلاسما و شیشه کوارتز و ضخامت لایه A که

باند انعکاس گوییم. در این شکل پهنای باند انعکاس با $(x_2 - x_1)$ و مرکز آن را با x_{c1} نمایش دادیم. با افزایش ثابت دی الکتریک لایه دوم به تعداد باند انعکاسی افزوده می‌شود، تا در $\epsilon_2 = 4$ تعداد باند انعکاس، در دو باند انعکاس ثابت ماند. پهنای اولین و دومین باند انعکاس، همواره در حال افزایش است.

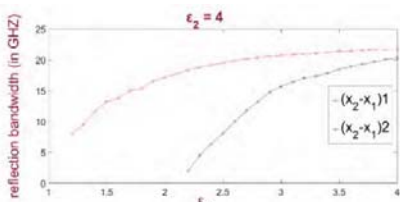


شکل (۲). نمودار انتقال/انعکاس / جذب بر حسب فرکانس با $N=20$, $\epsilon_2=40$, $D=40$, $\theta=0$, $\epsilon_1=2$. $R \approx 0$ همچنین x_c باند انتقال است.



شکل (۳) نمایش انعکاس صفر در نمودار انتقال/انعکاس / جذب بر حسب فرکانس با $N=20$, $\epsilon_2=40$, $D=40$, $\theta=0$, $\epsilon_1=2$.

در شکل (۳) در بازه‌ی فرکانسی ۱۰.۶.۴ تا ۱۰.۲.۵ گیگاهرتز انعکاس صفر و تقریباً نزدیک به صفر داریم.



شکل (۴) پهنای باند انعکاس بر حسب ϵ_2 با در نظر گرفتن $N=20$, $D=40$, $\theta=0$.

شکل (۴) پهنای باند انعکاس با تغییر ثابت دی الکتریک لایه دوم (ϵ_2) را نشان می‌دهد. همانطور که مشاهده می‌شود، پهنای باند انعکاس با افزایش ثابت دی الکتریک زیاد می‌شود.

(یعنی y و $y + \Delta y$) را تنظیم کنیم که به صورت زیر به دست آمده است [۴].

که $\cos \theta_l p_l = k_0 n_l d_l \cos \theta_l \beta_l$ امواج TE و $\cos \theta_l p_l = \frac{n_l}{z_0}$ امواج TM با $l=1,2$ و امپدانس خلاء $d_l = \sqrt{\frac{\mu_0}{\epsilon_0}} Z_0$ است. ضخامت طول تناوبی d_1 و d_2 با ضریب شکست n_1 و n_2 به ترتیب است. بنابراین ماتریس کل به صورت زیر است.

$$M_l =$$

که N_1 تعداد کل لایه‌ها در ساختار پلاسمای دی الکتریک در بلور فوتونیکی یکبعدی است. M_k هم ماتریس انتقال K آمین لایه در ساختار پلاسمای دی الکتریک در بلور فوتونیکی یکبعدی است. ضریب انعکاس این ساختار بدین صورت به دست آمده شده است:

$$(4) r = \frac{(m_{11} + m_{12}p_s)p_0 - (m_{21} + m_{22}p_s)}{(m_{11} + m_{12}p_s)p_0 + (m_{21} + m_{22}p_s)}$$

در اینجا p_0 و p_s اولین و آخرین محیط از این ساختار است که توسط فرمول زیر به دست می‌آید:

$$p_0 = \frac{n_0 \cos \theta_0}{Z_0}$$

$$p_s = \frac{\cos \theta_0}{n_s Z_0} \cdot p_0 = \frac{\cos \theta_0}{n_0 Z_0} \text{ امواج TE}$$

$$p_s = \frac{n_s \cos \theta_0}{Z_0} \text{ امواج TM}$$

اج در این ساختار مون، برای خلاء است. $n_s = 1 n_0$

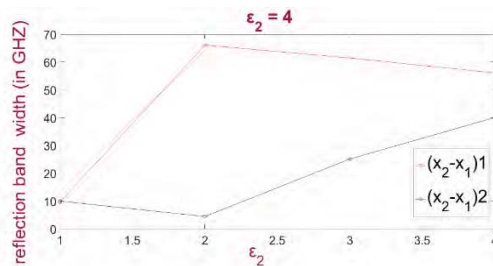
نتایج و محاسبات

فرض می‌شود ضریب گذردهی شیشه کوارتز، $\epsilon_2 = 4$, ضخامت لایه‌ها $d_1 + d_2 = 40$ mm, و پارامتر ساختاری لایه پلاسمای بدین صورت است:

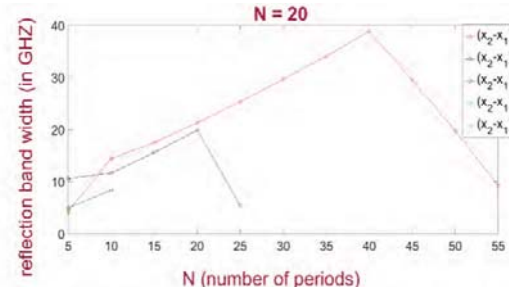
$$n_e = 2\pi \times 28.4 \times 10^9 rad/s (\omega_p - \omega_0) = 2\pi \times 10^6 rad/s \omega_c$$

شکل (۲) نشان می‌دهد که در بازه فرکانسی حدود ۵۶ تا ۷۳ گیگاهرتز دارای بازتاب ۱۰۰٪ و عبور صفر هستیم که به آن

$$n_e =$$



شکل (۷) پهنای باند انعکاس برحسب ϵ_2 با در نظر گرفتن $N = 40, D = 40, \epsilon_2 = 0.20$



شکل (۸) پهنای باند انعکاس برحسب N با در نظر گرفتن $D = 40, \epsilon_2 = 0.20$

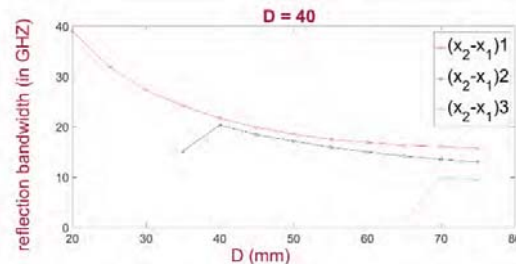
نتیجه گیری:

در ساختار پلاسمای-دیالکتریک پهنای باند انعکاس با افزایش تعداد تنابوب ابتدا افزایش، سپس کاهش می‌یابد و تعداد باندهای انعکاسی کاهش می‌یابد. با افزایش ثابت دیالکتریک پهنای باند انعکاس افزایش و تعداد آن افزایش می‌یابد. با افزایش ضخامت تعداد باند انعکاس افزایش می‌یابد و از پهنای باند انعکاس کاسته می‌شود. قطبش TE و TM برای هریک از تغییرات متفاوت است.

مرجع ها

- [1] Guo, B. and X. Wang, Power absorption of high-frequency electromagnetic waves in a partially ionized magnetized plasma. *Physics of Plasmas*, 2005. **12**: p. 084506.
- [2] Vetrov, S.Y. and A.V. Shabanov, Localized electromagnetic modes and the transmission spectrum of a one-dimensional photonic crystal with lattice defects. *Journal of Experimental and Theoretical Physics*, 2001. **93**(5): p. 977-984.
- [3] Zhang, H.-F., et al., Omnidirectional photonic band gap enlarged by one-dimensional ternary unmagnetized plasma photonic crystals based on a new Fibonacci quasiperiodic structure. *Physics of Plasmas*, 2012. **19**(11): p. 112102.
- [4] Qi, L., et al., Properties of obliquely incident electromagnetic wave in one-dimensional magnetized plasma photonic crystals. *Physics of Plasmas*, 2010. **17**(4): p. 042501.
- [5] Zhang, H.-f., et al., Comment on "Photonic bands in two-dimensional microplasma array. I. Theoretical derivation of band structures of electromagnetic waves" [J. Appl. Phys. 101, 073304 (2007)]. *Journal of Applied Physics*, :2(110).2011p. 026104.
- [6] Born, M.A.X. and E. Wolf, HISTORICAL INTRODUCTION, in *Principles of Optics* (Sixth Edition), M.A.X. Born and E. Wolf, Editors. 1980, Pergamon. p. xxi-xxviii.

شکل (۵) پهنای باند انعکاس با تغییر تعداد تنابوب N را نشان می‌دهد که N تعداد تنابوب‌های ساختار دولایه پلاسمای-دیالکتریک است. با افزایش تعداد تنابوب، تعداد باندهای انعکاسی کمتر می‌شود. پهنای باندهای انعکاسی، ابتدا افزایش و سپس کاهش می‌یابد.



شکل (۹) نمودار پهنای باند انعکاس برحسب D با در نظر گرفتن $\epsilon_2 = 0.20, N = 40$

شکل (۶) پهنای باند انعکاس با تغییر ضخامت D را نشان می‌دهد. با افزایش ضخامت، به تعداد باندهای انعکاسی افزوده می‌شود. پهنای اولین باند انعکاس همواره کاهش، و پهنای دومین و سومین باند انعکاس ابتدا افزایش، سپس کاهش می‌یابد.

شکل (۷) بررسی قطبش TE برای ثابت دیالکتریک‌های متفاوت را نشان می‌دهد. با توجه به شکل نمودار (۶) می‌توان مشاهده نمود که قطبش TE و TM از هم متفاوتند.